

# ある 20480 次代数方程式の係数の計算に対する多倍長演算の並列化

益本博幸<sup>†</sup> 藤野清次<sup>††</sup>  
小野令美<sup>†††</sup> 児島彰<sup>††</sup>

Chebyshev の数値積分公式の分点を決める代数方程式の次数  $N$  を無限に大きくしたとき、その係数が漸近する式が 1981 年森口によって発表されている。しかし、代数方程式の次数  $N$  については 2048 次までしか確認されていない。そこで、本論文の目的の 1 つは、その代数方程式の次数  $N$  を計算機環境の許容限度まで大きくして、係数が漸近する式に計算で求めた値がどのくらい近いかを数値的に確認することにある。この係数の計算では桁落ちが起きるため、本研究では演算をすべて多倍長演算で行った。さらに、一般に多倍長演算は時間がかかるので、多倍長演算の並列化を試みることも本論文のもう 1 つの目的である。数値実験には、PC (Pentium Pro プロセッサ 200 MHz) および分散メモリ型並列計算機 : IBM SP2 (48 プロセッサ) を使用した。多倍長演算に対するいくつかの並列化手法を検討し、プログラムを実装した結果、次数が 20480 次まで上記の漸近式の正当性と並列計算の有効性が確認された。

## Parallelism of Multi-precision Arithmetic for Computation of Coefficients of Algebraic Equation of 20480 Degrees

HIROYUKI MASUMOTO,<sup>†</sup> SEIJI FUJINO,<sup>††</sup> HARUMI ONO<sup>†††</sup>  
and AKIRA KOJIMA<sup>††</sup>

In this paper we verify numerically a certain asymptotic estimation derived by S. Moriguti for the coefficients of algebraic equation which stem from  $N$ -points Chebyshev Integration formula. Since a cancellation in floating-point arithmetic is significant for calculating precisely of this algebraic equation of very high degrees, all computations were carried out with multiple precision arithmetic. However, it needs much computation time. Therefore some parallelization methods were investigated from the viewpoint of efficiency on distributed memory parallel computer. As a result, soundness of the asymptotic estimation and effectiveness of parallel computation were confirmed.

### 1. はじめに

Chebyshev の数値積分公式<sup>3),7)</sup>

$$\int_{-1}^1 f(x) dx \approx \frac{2}{N} \sum_{i=1}^N f(x_i) \quad (1)$$

の分点を零点を持つ方程式を  $F_N(z)$  とおく。このとき  $F_N(z)$  は

$$F_N(z) = a_0 z^N + a_2 z^{N-2} + \dots \\ + \begin{cases} a_{N-1} z & (N: 奇数) \\ a_N & (N: 偶数) \end{cases} \quad (2)$$

となり、各項の係数  $a_{2k}$  は、

$$\begin{cases} a_0 = 1 \\ a_{2k} = -\frac{N}{2k} \sum_{j=1}^k \frac{1}{2j+1} a_{2(k-j)} \\ (k = 1, 2, 3, \dots, \frac{N}{2}) \end{cases} \quad (3)$$

で表される。ただし奇数項の係数は 0 である。代数方程式  $F_N(z)$  の次数  $N$  を  $N \rightarrow \infty$  に近づけたとき、係数を漸近的に表す式が森口によって与えられている<sup>11)</sup>。本論文の目的は、この代数方程式の次数  $N$  をできるだけ大きくして式 (3) の計算値が漸近値に近くなる様子を数値的に確かめることにある。計算には、PC (Pentium Pro プロセッサ) および分散メモリ型

† 株式会社アイテック阪神

Ai-tech Hanshin Ltd.

†† 広島市立大学情報科学部

Faculty of Information Sciences, Hiroshima City University

††† 元千葉大学工学部

Former Chiba University

並列計算機：IBM SP2 (48 プロセッサ) を使用し、前者では C++ 言語、後者では Fortran90 を用いて多倍長演算を行った。

高次の代数方程式に関する先行研究としては、共著者の 1 人小野による研究<sup>12),13)</sup>が知られている。そこでは、2048 次までのものについて Durand-Kerner 法を用いて全根を求め、 $N \rightarrow \infty$  の極限で解の並ぶ曲線にそれらの根が近づいていく様子と方程式の係数の大きさの様子が示されている。また、解を求めるために特別に用意された多倍長演算システムを使う必要があったこと、根を求める計算および係数を求める計算(3)の過程において大きな桁落ちが発生することなどが報告されている。たとえば、 $N = 2048$  次のときは、3~5 衍の精度の解を求めるのに必要な桁数の係数を求める計算には 840 衍 (およそ  $\frac{2 \times N}{5}$  に相当) の桁数が必要であった。本報告では代数方程式の係数  $a_k$  の計算のみなので、係数の有効桁数を 5 衍程度でよいことにすれば、計算に必要な桁数はもっと少なくて済む。たとえば、次数が同じ  $N = 2048$  のとき演算桁数を 410 衍 (この桁数は  $\frac{1.0 \times N}{5}$  に相当する) にとり、これとその 2 倍の演算桁数で計算した結果と比較した結果、有効数字が 6 衍あることが確認できた。このような検討をもとに、次数  $N$  の大きさに応じて演算桁数を決める基準を見い出した。本報告では、次数が 20480 次までの係数  $a_k$  について上述の森口による漸近式の妥当性を確かめることにする。

さらに、このような超高次の代数方程式の係数を精度良く求めるには多倍長演算が必要になる。しかし、一般に多倍長演算には多くの演算時間が必要である。そこで、分散メモリ型並列計算機による並列計算を行った。そのためのいくつかの並列化の方法について検討を行い、その実装を行った。

## 2. チェビシェフによる 2 つの積分公式

まず、有限、または無限区間  $(a, b)$  における積分

$$\int_a^b w(x)f(x)dx = \sum_{i=1}^N w_i(x_i)f(x_i) \quad (4)$$

について考える。ここで  $w(x)$  は重み関数とする。合計  $2N$  個のパラメータ：重み  $w_i$  と分点  $x_i$  のとり方によりいろいろな公式が生まれる。

### 2.1 チェビシェフ・ガウスの積分公式

$$\int_{-1}^1 \frac{f(x)}{\sqrt{1-x^2}} dx \quad (5)$$

のように、積分区間  $[-1, 1]$  で、重み関数  $w(x) =$

$\frac{1}{\sqrt{1-x^2}}$  と与え、分点をチェビシェフ多項式  $T_N(x)$  の零点にとる公式はチェビシェフ・ガウスの積分公式(則)と呼ばれる<sup>1),14)</sup>。ここで、 $N$  次のチェビシェフ多項式  $T_N(x)$  の零点は、

$$x_j = \cos \frac{(2j-1)\pi}{2N}, \quad (j = 1, 2, \dots, N) \quad (6)$$

となる。また、チェビシェフ多項式  $T_N(x)$  は次の漸化式を満たす。

$$T_{N+1}(x) - 2xT_N(x) + T_{N-1}(x) = 0. \quad (7)$$

ここで、 $T_N(x)$  については、最高次の係数は  $2^{N-1}$ 、以下交互に正負の符号をとり、最低次の項は  $N$  が偶数  $p$  ならば  $(-1)^p$ 、奇数  $2p+1$  ならば  $(-1)^p(2p+1)x$  になることなどいくつもの事実が知られている<sup>9)</sup>。

### 2.2 チェビシェフの数値積分公式

一方、 $N$  個の重みを一定値  $w_i = (b-a)/N$  にとり、分点  $x_i$  ( $i = 1, \dots, N$ ) を定めるのが、本研究で取り扱うチェビシェフの数値積分公式 (Chebyshev quadrature) である<sup>1),10)</sup>。積分区間  $[-1, 1]$  の場合には、積分公式は

$$\int_{-1}^1 f(x)dx \approx \frac{2}{N} \sum_{i=1}^N f(x_i) \quad (8)$$

のようく表される。また、その分点を零点を持つ方程式の係数は式(3)のようく表される。前に述べたチェビシェフ多項式の係数の場合は、式(7)のようくきれいな漸化式の形で表されため、これらの係数の性質についてもよく調べられている。

一方、本研究で取り扱うチェビシェフの数値積分公式では、分点を定める多項式を式(7)のようく漸化式で表すことが難しい。そのため、次数  $N = 8$  と  $N \geq 10$  のとき、方程式の根には実根が  $N$  に達しなくて共役複素数の根が混じると述べられているが<sup>10)</sup>、後者の場合に、理論的にあるいは数値的に確かめられていない、などまだ分からぬことが多い。

### 3. チェビシェフの数値積分公式における係数 $a_k$ の漸近式

次数を  $N$  とし、 $\alpha = k/N$  をおく。 $N$  が大きいとき係数  $a_k$  は次のように表されることが森口により示されている<sup>11)</sup>。奇数の  $k$  に対しては  $a_k = 0$ 。偶数の  $k$  に対しては、 $N$  が大きいとき漸近的に  $\alpha$  がほぼ 0.75 位までは、

$$v \cdot \operatorname{arccot} v = 1 - \alpha + \frac{1}{N} \quad (9)$$

を満たす  $v$  と  $\alpha$  を用いて、

表 1 指標  $k$  が偶数のときの漸近式の数値一覧表  
Table 1 Asymptotic estimation (10) when index  $k$  is even.

| $\alpha$ | $v$  | $\operatorname{arccot} v$ | $\frac{\sqrt{1+v^2}}{e^\alpha v^{1-\alpha}}$ | $\log_{10} \frac{\sqrt{1+v^2}}{e^\alpha v^{1-\alpha}}$ |
|----------|------|---------------------------|--|--|
| .0135    | 5.00 | 0.1974                    | 1.0282                                       | 0.0121   |
| .0352    | 3.00 | 0.3218                    | 1.0578                                       | 0.0244   |
| .2151    | 1.00 | 0.7854                    | 1.1405                                       | 0.0571   |
| .3823    | 0.60 | 1.0304                    | 1.0909                                       | 0.0378   |
| .5244    | 0.40 | 1.1903                    | 0.9858                                       | -0.0062  |
| .7258    | 0.20 | 1.3734                    | 0.7673                                       | -0.1150  |

$$a_k = (-1)^{k/2} \left( \frac{\sqrt{1+v^2}}{e^\alpha v^{1-\alpha}} \right)^N$$

$$\cdot \sqrt{\frac{2}{N\pi}} / \sqrt{\frac{1-\alpha}{v^2} - \frac{1}{1+v^2}} \quad (10)$$

となる。したがって、 $N$  が大きいときは  $(\frac{\sqrt{1+v^2}}{e^\alpha v^{1-\alpha}})^N$  が  $|a_k|$  の主要な部分となる。一方、 $\alpha$  が 0.75 付近の臨界値を超えるときは

$$a_k \approx - \left( \frac{2}{e} \right)^N \quad (11)$$

である。表 1 に  $N=2048$  のときの  $|a_k|$  が最大となる付近での漸近式 (10) の中の主な値を示す。

#### 4. 演算桁数と有効桁数の関係

##### 4.1 演算桁数を変えたときの係数の値について

図 1 に次数  $N=256$  のとき、演算桁数  $M$  を、 $M=50$  衡 ( $50/256 \approx 0.195$ )、 $M=60$  衡 ( $60/256 \approx 0.234$ )、 $M=70$  衡 ( $70/256 \approx 0.273$ )、そして  $M=102$  衡 ( $102/256 \approx 0.398$ ) と変化させたときの係数  $a_k$  の絶対値をプロットしたものを示す。横軸には係数  $a_k$  の番号:  $k$  をとり、縦軸は  $\log_{10} |a_k|$  の大きさを表す。図から、上の 2 本の線で表された  $M=50$  衡と  $M=60$  衡のときは、桁落ちの影響を受けて計算値は解と比べてオーダまで値が違うこと、一方、 $M=70$  衡のときは桁数を十分にとった図中の最下線の  $M=102$  衡の線と重なって見えること、などが分かる。また、解の精度も  $M=70$  衡のときの結果は  $M=102$  衡のそれと比較して有効数字 8 衡目まで完全に一致していた。また、表 2 に次数  $N=1024$  のときの係数  $a_{1024}$  の値について、演算桁数  $M$  を  $M=210$  衡 ( $210/1024 \approx 0.205$ ) から  $M=225$  衡 ( $225/1024 \approx 0.220$ ) まで変化させ、それらと  $M=410$  衡 ( $410/1024 \approx 0.400$ ) のときの結果とを比較（表中の下線部が値が一致したところ）したものを示す。この表から、桁数を増加させるに従って有効桁数がだんだんと大きくなり、有効桁数が 6 衡ぐらいであれば、そ

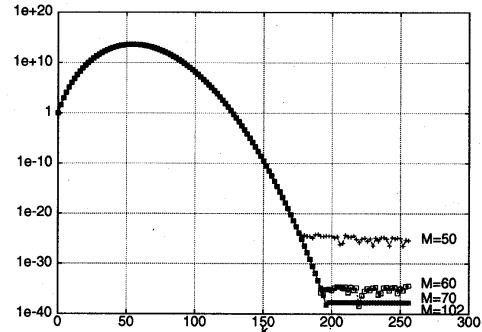


図 1 演算桁数  $M$  をえたときの各係数  $a_k$  ( $k = 1, \dots, N$ ) の絶対値 (縦軸の目盛は  $\log_{10} |a_k|$ )

Fig. 1 Absolute value of coefficients  $a_k$  ( $k = 1, \dots, N$ ) for some digits of computation with the vertical axis of  $\log_{10} |a_k|$ .

表 2 次数  $N=1024$  のときの係数  $a_{1024}$  の値

Table 2 Values of coefficient  $a_{1024}$  at  $N = 1024$ .

| 演算桁数 | 比率   | 有効桁数 | 係数 $a_{1024}$ の値                                |
|------|------|------|---|
| 210  | .205 | 1.50 | <u>0.1435 3844</u> $\times 10^{-140}$           |
| 215  | .210 | 6.29 | <u>0.1391 5320 6352</u> $\times 10^{-140}$      |
| 220  | .215 | 11.8 | <u>0.1391 5313 5615 1877</u> $\times 10^{-140}$ |
| 225  | .220 | 16.0 | <u>0.1391 5313 5615 4347</u> $\times 10^{-140}$ |
| 410  | .400 | —    | 0.1391 5313 5615 4347 $\times 10^{-140}$        |

表 3 係数  $a_N$  の計算値の有効桁数が 6 衡以上になる演算桁数の次数に対する比率

Table 3 Ratios of necessary digits vs. degree of polynomial for calculation of  $a_N$  with more than 6 digits of accuracy.

| 次数 $N$ | 演算桁数 $M$ | 比率    |
|--------|----------|-------|
| 256    | 65       | 0.254 |
| 512    | 115      | 0.224 |
| 1024   | 215      | 0.210 |
| 2048   | 410      | 0.200 |
| 4096   | 800      | 0.195 |

の比率が 0.210 のときの演算桁数 ( $M=215$  衡) で十分であることが分かる。

また、表 3 は、各次数  $N$  ごとに、演算桁数  $M$  を変化させて係数  $a_N$  の有効桁数が 6 衡以上あるときの演算桁数の次数に対する比率を調べたものである。この表から、次数を大きくするに従ってその比率は単調に小さくなっていくことが分かる。この結果から、次数をもっと大きくしたときでも必要な演算桁数は  $\frac{1.1 \times N}{5}$  衡程度で十分であることが分かる。

##### 4.2 十分な演算桁数がある場合

前の節での考察を基に、次数  $N=256$  のときは演算

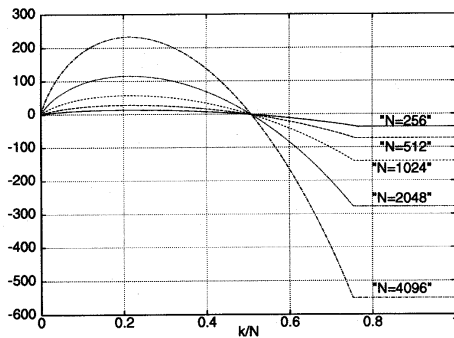


図 2 演算桁数が十分あるときの係数  $a_k$  の絶対値(縦軸の目盛は 10 のべき乗の値)

Fig. 2 Absolute value of coefficients  $a_k$  with sufficient digits of computation with the vertical axis of a power of 10.

桁数を 70 桁 ( $70/256=0.274$ ) に、次数がそれ以上大きいときは、次数  $N$  ごとに演算桁数を  $\frac{1.1 \times N}{5}$  桁とて計算した結果を図 2 に示す。ただし、横軸の目盛の 0 が係数  $a_0$  に、同じく目盛の 1 が係数  $a_N$  に対応している。また、縦軸には  $\log_{10} |a_k|$  をとり、目盛は 10 のべき乗の値を表す。図の左側の上に凸の部分で、5 本の線のうち一番下の実線が 256 次のとき、そして一番上にある 1 点鎖線が 4096 次のときを各々表す。この図から、すべての次数の場合において  $\alpha=k/N$  (x 軸) が 0.75 付近になるまで減少し、桁落ちの影響がないことが分かる。

#### 4.3 漸近評価式と計算値との比較

図 2 から、 $\alpha = k/N$  がおよそ 0.75 までは式 (10) の値に、それよりも大きいところでは式 (11) の値に近づいていくことが分かる。これをはっきり示すために、縦軸方向の値を  $\frac{1}{N} \log_{10} |a_k|$  に変更したものを図 3 に示す。図中で “true” のグラフは漸近評価式 (10) で  $\frac{1}{N} \log |a_k|$  の  $N \rightarrow \infty$  の極限の曲線 ( $0 \leq \frac{k}{N} \leq 0.75$ ) である。方程式の次数が 2048 次から 20480 次まで  $N = 2^n$  ( $n = 11, 12, 13, 14$ ) と  $N = 20480$  に対する 6 種類のデータの曲線を表示した。 $\alpha = 0.75$  まではこれらの線が重なって識別不可能なほど値が近いことが分かる。

さらに、 $\alpha = 0.75$  よりも大きなところの 6 つのデータの差異を細かくるために拡大図を図 4 に示す。縦軸方向の目盛は、図 3 と同様に、 $\frac{1}{N} \log_{10} |a_k|$  とする。実線が 2048 次のとき、1 点鎖線が 20480 次のときの結果を示している。これらの図からも、(i)  $\alpha$  の値が 0.75 よりも小さいとき計算値は漸近式 (10) の値に次数が高くなればなるほど近づくこと、さらに (ii)  $\alpha$  の

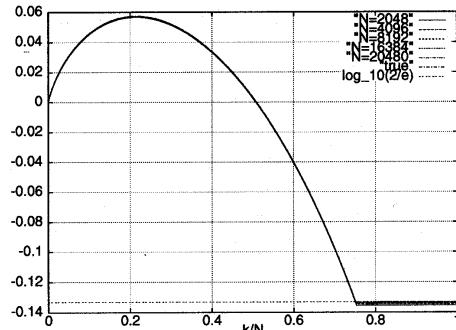


図 3 縦軸方向の値を  $\frac{1}{N} \log_{10} |a_k|$  にした場合の漸近式の極限の曲線と計算値

Fig. 3 Asymptotic estimation (10) and computational values with the vertical axis of  $\frac{1}{N} \log_{10} |a_k|$ .

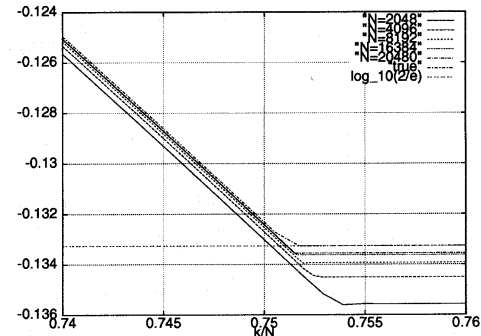


図 4  $\alpha = 0.75$  付近の拡大図 (縦軸方向の目盛は  $\frac{1}{N} \log_{10} |a_k|$ )  
Fig. 4 Enlarged graph near at  $\alpha = 0.75$  with the vertical axis of  $\frac{1}{N} \log_{10} |a_k|$ .

値が 0.75 よりも大きいときは、高次になればなるほど計算値は漸近式 (11) に近づくこと、などが分かる。

#### 5. PC による計算

計算の効率を上げるため、式 (3) に現れる  $(2j+1)$  による割算を乗算 :  $\frac{1}{2j+1}$  に書き換えて、高速化を図ったので以下その結果を報告する。

##### 5.1 除算の乗算への書き換え

この書き換えを行ったとき、作業領域として、新たに  $N/2$  個の配列 (メモリ) が必要になり、演算可能な次数  $N$  が半減することが予想される。各次数における CPU 時間を表 4 に示す。使用した計算機 (PC) は Pentium Pro プロセッサ (200 MHz) である。使用言語は C++ 言語である。多倍長演算は平山による MPPACK を改良して使用した<sup>4),5)</sup>。この表から、速度がおよそ 4.4~7.7 倍も向上し大きな効果があることが分かった。そこで、以下の計算では除算を乗算に

表 4 除算を乗算に置き換えたときの CPU 時間（単位：秒）  
Table 4 CPU times of multiplication in place of division.

| 次数   | 除算      | 乗算     | 比(除算<br>乗算) |
|------|---------|--------|-------------|
| 256  | 2.15    | 0.28   | 7.67        |
| 512  | 13.6    | 1.97   | 6.93        |
| 1024 | 105.8   | 18.9   | 5.59        |
| 2048 | 1027.0  | 232.6  | 4.42        |
| 4096 | 18157.0 | 3253.0 | 5.58        |

表 5 高次のときの CPU 時間（単位：時間），演算桁数と必要なメモリ容量  
Table 5 CPU times, digits of computation and necessary memory in case of polynomial with high degrees.

| 次数    | CPU 時間 | 演算桁数 | メモリ (Mbyte) |
|-------|--------|------|-------------|
| 4096  | 0.91   | 905  | 2.96        |
| 8192  | 13.3   | 1805 | 11.8        |
| 16384 | 213.4  | 3610 | 47.3        |
| 20480 | 561.1  | 4520 | 74.1        |

置き換えてすべての計算を行った。ただ、このように多倍長演算の除算を乗算に置き換えないでも、ほぼ乗算と同じ程度の速さで計算できることが Ozawa<sup>15)</sup> の研究で知られている（謝辞参照）。また、共著者の 1 人小野<sup>16)</sup>により除算の高速化への試みがなされているが、本研究では、上のような簡単な置き換えだけに十分な高速化が達成できたので、除算の特別なルーチンは作成しなかった。さらに大きな次数の計算を行うときは、計算時間短縮のため考慮すべきであると思われる。4096 次以上のときの CPU 時間（単位：時間）、演算桁数そして必要なメモリ容量を表 5 に示す。

たとえば、16384 次では 213 時間（約 9 日）、20480 次では 561 時間（約 23 日）も計算に時間を要した。これ以上の大きな次数のときの計算は計算機環境の制約と、PC の搭載メモリ容量（96 Mbyte）を上回るため実行できなかった。

## 6. 多倍長演算の並列化について

PC では多くの計算時間が必要だったので、並列計算機による多倍長演算の高速化を図った。並列化の方法としては、2 つの方法を検討し、それらを並列計算機上に実装した。ここでは、第 1 の方法を内部加算法 (Inner Summation, 略して IS 法)、そして第 2 の方法を外部加算法 (Outer Summation, 略して OS 法) と呼ぶことにする。また、前者の IS 法ではメモリ分割の方法として、サイクリック分割とブロック分割と呼ばれる 2 種類の分割の方法についても検討した。

### 6.1 IS 法について

IS 法は、式 (3) の係数  $a_{2k}$  :

$$\sum_{j=1}^k \frac{1}{2j+1} a_{2(k-j)} \quad (12)$$

の計算を各プロセッサごとに小さく分割して割り当てる。その部分和をプロセッサごとに計算し、次に各部分和を通信を使って集計して全体の総和を求め、そして次の係数  $a_{2(k+1)}$  を求める手順を繰り返す方法である。このとき、式 (12) はプロセッサの台数と各プロセッサに割り当てる係数も含んだ次の形の式で表すことができる。ただし、 $k = 1, 2, \dots, \frac{N}{2}$  とする。

$$\sum_{i=1}^p \sum_{j=1}^{\gamma} \frac{1}{2(p(j-1)+i)+1} a_{2(k-(p(j-1)+i))}. \quad (13)$$

ここで、 $\gamma = (k + (p - i))/m$  は整数で小数点以下切捨て、 $i$  はプロセッサの番号、 $p$  はプロセッサの台数をそれぞれ表すものとする。たとえば、プロセッサが 4 台のときプロセッサごとの処理は次のようになる。指標  $i$  には各プロセッサの番号を代入し指標  $p$  には 4 を代入する。

$$\begin{aligned} & \sum_{j=1}^{(k+3)/4} \frac{1}{2(4(j-1)+1)+1} a_{2(k-(4(j-1)+1))} \\ & + \sum_{j=1}^{(k+2)/4} \frac{1}{2(4(j-1)+2)+1} a_{2(k-(4(j-1)+2))} \\ & + \sum_{j=1}^{(k+1)/4} \frac{1}{2(4(j-1)+3)+1} a_{2(k-(4(j-1)+3))} \\ & + \sum_{j=1}^{k/4} \frac{1}{2(4(j-1)+4)+1} a_{2(k-(4(j-1)+4))} \end{aligned} \quad (14)$$

上の式中の 4 つの項の和は、上から順番に番号 1, 2, 3, 4 が付けられたプロセッサに割り当てられた計算式に対応している。IS 法の計算手順を図 5 に示す。この図は係数  $a_{20}$  を求めるときのサイクリック分割による IS 法（以下、IS-B 法と略す）の計算の動きの概略を表す。

逐次処理（並列化せず）の処理手順は次の (a), (b) のように表せる。

#### [逐次処理の処理手順]

- (a)  $S_j$  について演算を行う。このとき、 $S_j$  の演算結果は順次変数 SUM に加算される。
- (b) すべての  $S_j$  について計算が終了した時

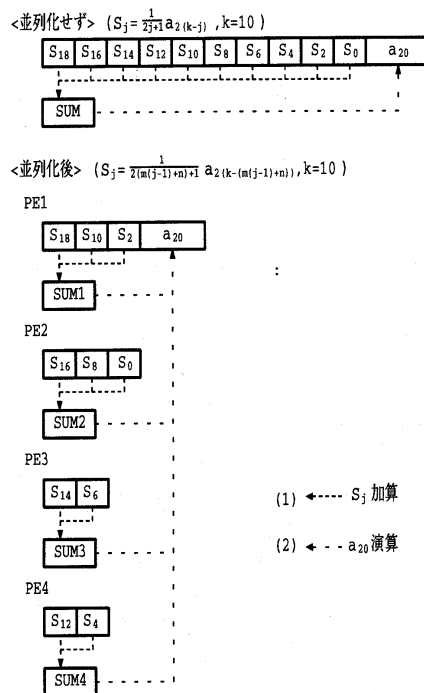


Fig. 5 Outline of procedure of the Inner Summation method of cyclic partitioning with four processors.

点で、変数 SUM から係数  $a_{20}$  の値が求まる。

一方、並列化したときの処理手順は以下の (a)～(d) のように表せる。

#### [並列化したときの処理手順]

- 各プロセッサは割り当てられた  $S_j$  のみ演算を行う。このとき、 $S_j$  の演算結果は各プロセッサごとに用意された変数 (SUM1～SUM4) に加算される (図5の中で短破線の矢印で表す)。
- 割り当てられた演算がすべて終了した時点で、プロセッサ : PE2～PE4 は変数の値を PE1 に送り、PE1 が代表して係数  $a_{20}$  の値を求める (図5の中で長破線の矢印で表す)。
- プロセッサ PE1 が演算を行っている間、他のプロセッサは PE1 の演算が終了するまで待機している。PE1 は演算が終了した時点で、求まった係数  $a_{20}$  の値を他のプロセッサに送る。

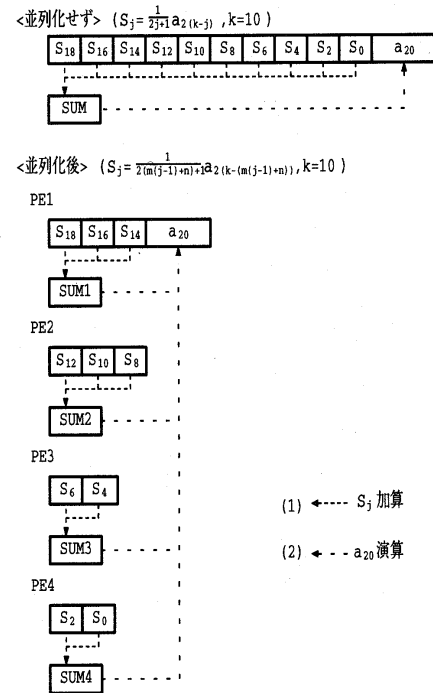


Fig. 6 Outline of procedure of the Inner Summation method of block partitioning with four processors.

(d) 他のプロセッサは、プロセッサ PE1 から値が送られてきた時点で待機を解除し、次の係数の計算に移る。

さらに、ブロック分割をしたときのIS法 (以下、IS-B法と略す) の計算の動きの概略を図6に示す。この方法は、各プロセッサに割り当てる計算式だけが違うだけで計算手順はサイクリック分割のIS-C法とまったく同じである。

#### 6.2 パイプライン法による並列化

一般に、パイプライン法による並列化は、計算に必要なデータ (ここでは係数の値) が同じプロセッサ内にある場合は計算を続け、必要とするデータ (ここでは係数の値をさす) が同じプロセッサ内にないと分かった時点で初めてそのデータを持っている他のプロセッサからデータを送ってもらうという並列化の方法である<sup>17)</sup>。パイプライン法の計算の動きの概略を図7に示す。図中の丸印のことを以下では要素と呼ぶことにする。

パイプライン法の計算手順は、たとえば、図7中のプロセッサ : PE3 にある●の要素が計算対象の場合、

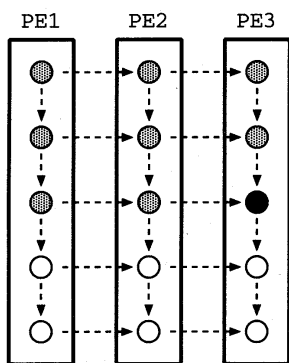


図 7 パイプライン法における計算の動きの概略  
Fig. 7 Outline of procedure of the pipeline method.

以下の (a)~(d) のように表せる。

[パイプライン法の処理手順]

- 同じ PE3 にある計算がすでに終了した要素（網掛けの丸印）を用いて計算をする。
- PE2 の要素（網掛けの丸印）の計算終了を待つ。ただし、PE2 の計算は PE1 にある要素（網掛けの丸印）の計算終了を待たなければならない。
- PE2 から計算が終わった要素（網掛けの丸印）の値を通信で送ってもらう。
- これで初めて ● の値が計算できる。

6.3 OS 法

パイプライン法を応用した並列化方法が OS 法である。ここでは、式 (3) で表された係数  $a_{2k}$  は、 $k = pm + i$  のとき

$$\begin{aligned} a_{2k} &= -\frac{N}{2k} \sum_{j=1}^k \frac{a_{2k-2j}}{2j+1} \\ &= -\frac{N}{2k} \left\{ \sum_{j=1}^{i-1} \frac{a_{2k-2j}}{2j+1} + \sum_{j=i}^{k-1} \frac{a_{2k-2j}}{2j+1} + \frac{a_0}{2k+1} \right\} \\ &\quad (m=1, \dots, \frac{N}{2p}-1) \end{aligned} \quad (15)$$

とプロセッサの番号 :  $i$  とその台数 :  $p$  を含んだ式で表される。並列化した場合に、他のプロセッサでの計算結果が必要な部分は、式 (15) の括弧 {} 内の第 1 番目の和 :

$$\sum_{j=1}^{i-1} \frac{a_{2k-2j}}{2j+1} \quad (16)$$

にあたる。すなわち、他のプロセッサ PE での計算が終わった後、必要な値を通信で受けとり、次に自分の

プロセッサ PE 内での計算が始まることになる。プロセッサの台数が 4 の場合には、指標  $i$  には各 PE 番号そして指標  $p$  には 4 が入る。すなわち、PE の番号が 4 のときは指標  $i = 4$  である。 $L = 2(4m + 4)$  とおいたとき、プロセッサ  $L$  での計算式は以下のように示される。

$$\begin{aligned} a_L &= -\frac{n}{L} \sum_{j=1}^{4m+4} \frac{a_{L-2j}}{2j+1} \\ &= -\frac{n}{L} \left\{ \sum_{j=1}^3 \frac{a_{L-2j}}{2j+1} + \sum_{j=4}^{4m+3} \frac{a_{L-2j}}{2j+1} + \frac{a_0}{L+1} \right\} \end{aligned} \quad (17)$$

たとえば、係数  $a_{24}$  のとき、すなわち  $m = 2$  としたとき、プロセッサ : PE4 の担当する計算の具体的な式は次のようになる。

$$\begin{aligned} a_{24} &= -\frac{n}{24} \sum_{j=1}^{12} \frac{a_{24-2j}}{2j+1} \\ &= -\frac{n}{24} \left\{ \sum_{j=1}^3 \frac{a_{24-2j}}{2j+1} + \sum_{j=4}^{11} \frac{a_{24-2j}}{2j+1} + \frac{a_0}{24+1} \right\} \\ &= -\frac{n}{24} \left\{ \left( \frac{a_{22}}{3} + \frac{a_{20}}{5} + \frac{a_{18}}{7} \right) \right. \\ &\quad \left. + \left( \frac{a_{16}}{9} + \frac{a_{14}}{11} + \frac{a_{12}}{13} + \frac{a_{10}}{15} \right) \right. \\ &\quad \left. + \left( \frac{a_8}{17} + \frac{a_6}{19} + \frac{a_4}{21} + \frac{a_2}{23} \right) + \frac{a_0}{25} \right\} \end{aligned} \quad (18)$$

実際には、3 つの係数 :  $a_{18}$ ,  $a_{20}$ ,  $a_{22}$  の値が他のプロセッサでまだ求まっていない場合は、計算終了後ただちにデータの送信が行われ、そこで初めて係数  $a_{24}$  の計算が始まることになる。

OS 法の計算手順を以下の (a)~(c) に示す。全体の計算時間がおよそ  $\frac{1}{4}$  (ただし、PE 数が 4 台の場合) に短縮されると期待できる。

[OS 法の計算手順]

- 各 PE は、割り当てられた  $S_j$  を演算する。他の PE で演算している結果が必要になったときは、そこで実行を停止し待機する。
- $S_j$  の演算が終わった段階で係数  $a_{2k}$  を求める。
- 各 PE は、係数  $a_{2k}$  の演算が終了した時点で、その結果を他の PE に送信する。これにより、他の PE は中断していた計算を再開する。たとえば、PE1 が送信した時点で、PE2 は必要な値が全部揃うた

表 6 SP2/48 の仕様

Table 6 Specifications of SP2 with 48 processors.

|   |   |
|---|---|
| プロセッサ間のネットワーク<br>プロセッサ<br>性能 (倍精度)<br>メモリ | HPS スイッチ (40 Mb/s)<br>POWER2 (66 MHz)<br>12.67 Gflops<br>6.14 Gbyte |
|---|---|

表 7 演算時間と通信時間とその合計時間 (単位:秒) およびそれらの割合 (下段括弧内, 単位:%)

Table 7 Computation, communication time and their summation (in seconds) and their ratios in parenthesis.

| 次数   | IS-C 法          |                |      | OS 法            |                |      |
|------|-----------------|----------------|------|-----------------|----------------|------|
|      | 演算時間            | 通信時間           | 合計時間 | 演算時間            | 通信時間           | 合計時間 |
| 512  | .491<br>(66.1)  | .252<br>(33.9) | .743 | .453<br>(64.6)  | .248<br>(35.4) | .701 |
| 1024 | 3.53<br>(88.5)  | 0.46<br>(11.5) | 3.99 | 3.48<br>(88.5)  | 0.45<br>(11.5) | 3.93 |
| 2048 | 34.2<br>(97.2)  | 1.0<br>(2.8)   | 35.2 | 34.0<br>(96.3)  | 1.3<br>(3.7)   | 35.3 |
| 4096 | 396.1<br>(99.4) | 2.4<br>(0.60)  | 399  | 397.3<br>(98.2) | 7.2<br>(1.8)   | 405  |

め、再び計算を開始する。

## 7. 並列計算機による数値実験

PCで使用したC++言語のプログラムを使って計算できる並列計算機の環境を探したが見つけ出すことができたので、以下の計算はFortran90で記述したプログラムによる多倍長演算を行った。並列計算機は、日本原子力研究所計算科学技術推進センターのIBM SP2システム(48プロセッサ)を使用した<sup>2)</sup>。表6に使用したIBM SP2/48のシステムの仕様を表す。Fortran90のコンパイラはIBM独自のXL Fortran(verion 4)と呼ばれるものを使用した。プログラムの最適化のレベルは-O3である。ここで、HPSスイッチとは小規模なクロスバーを複数段接続した多段結合型のアーキテクチャである。

表7に、プロセッサ数が4台のときのIS-C法とOS法における実行時間の中の演算時間(単位:秒)と通信時間(単位:秒)およびそれらの割合(下段の括弧内、単位%)を示す。この表から、次数Nが大きくなるに従って、演算に要する時間が急激に増加すること、たとえば、次数N=4096のときは計算全体のはとんど(98~99%)が演算時間で占められること、などが分かる。

表8にプロセッサ数が4台のときの逐次処理(CPU時間、単位:秒)および3つの並列化方法の実行時間(単位:秒)とその比率を示す。括弧内の数字は逐次

表 8 逐次処理のCPU時間および3つの並列化方法の実行時間  
(単位はいずれも秒) およびそれらの比率(括弧内)

Table 8 CPU time (in seconds) of sequential process and execution time of three parallel methods, and their ratios in parenthesis.

| 次数   | 逐次    | IS-C法(比)    | IS-B法(比)    | OS法(比)      |
|------|-------|-------------|-------------|-------------|
| 512  | 1.96  | 0.74 (2.65) | 0.77 (2.55) | 0.70 (2.80) |
| 1024 | 14.1  | 3.99 (3.53) | 4.00 (3.53) | 3.93 (3.59) |
| 2048 | 137.1 | 35.2 (3.89) | 36.9 (3.72) | 35.3 (3.88) |
| 4096 | 1582  | 399. (3.96) | 400. (3.96) | 405. (3.91) |
| 8192 | 不可    | 6319. (—)   | 6329. (—)   | 6330. (—)   |

表 9 プロセッサ数の違いによる実行時間の変化(単位:秒)

Table 9 Execution time in seconds with increase of processors.

| PE<br>数 | 4096 次 |      | 8192 次  |      |
|---------|--------|------|---------|------|
|         | 実行時間   | 比    | 実行時間    | 比    |
| 1       | 1583.2 | 1.0  | 20724.3 | 1.0  |
| 4       | 398.8  | 4.0  | 5194.2  | 4.0  |
| 8       | 203.6  | 7.8  | 2619.4  | 7.9  |
| 16      | 106.5  | 14.9 | 1336.8  | 15.5 |
| 32      | 60.3   | 26.3 | 697.4   | 29.7 |
| 48      | 49.7   | 31.8 | 523.1   | 39.6 |

処理の速度を1としたときの比率である。方程式の次数Nは512次から8192次まで変化させた。この表から以下のことが観察される。ただし、次数が8192次のとき乗算処理はFFT(Fast Fourier Transform)にて行った。

- (1) IS-C法とIS-B法そしてOS法は、各々通信に要する時間は多少異なるが、係数の計算に必要な演算の回数自体は同じはずである。そのため、大きな次数Nのときは、演算時間が計算全体に占める割合が多くなるので、これら3つの方法の実行時間もまたほぼ等しくなると思われる。
- (2) したがって、次数Nが大きいとき台数効果に相当する約4倍に近い速度の向上が達成されている。

次にプロセッサ数を増加させて実行時間の変化の様子を調べた。表9に結果を示す。表中の比はプロセッサ数が1台のときのCPU時間に対する比率を表している。この表からプロセッサ数を増加させることによって実行時間は大幅に短縮することが分かる。

表10は、48プロセッサを使用したときの、(i) FFTを使用しない場合と、(ii) FFTを使用した場合の実行時間(単位:秒)を比較したものである。次数Nが大きくなると、FFTを使用した方がよいことが分かる。IBM SP2(48プロセッサ)では、およそ2020桁(=9180次)よりも大きい場合はFFTを使用した方

表 10 48 プロセッサを用いた場合の FFT の効果 (単位:秒)  
Table 10 Speedups by FFT on SP2 with 48 processors.

| 次数    | a: 使用せず | b: FFT 使用 | 比 ( $\frac{b}{a}$ ) |
|-------|---------|-----------|---------------------|
| 16384 | 6603    | 4555      | 0.69                |
| 20480 | 15493   | 7255      | 0.47                |

表 11 実行時間 (48 プロセッサ, 単位:秒)  
Table 11 Execution time on SP2 with 48 processors.

| 次数    | 実行時間   |
|-------|--------|
| 4096  | 49.7   |
| 8192  | 523.1  |
| 16384 | 4554.8 |
| 20480 | 7255.2 |

表 12 3 つのケースの実行時間 (単位:時間) とその比率  
Table 12 Execution time of three cases and ratios.

| 次数    | a: PC | b: 1PE | c: 48PE | 比 ( $\frac{a}{c}$ ) |
|-------|-------|--------|---------|---------------------|
| 4096  | 0.903 | 0.439  | 0.013   | 69.5                |
| 8192  | 13.33 | 6.671  | 0.145   | 91.9                |
| 16384 | 213.4 | —      | 1.265   | 168.6               |
| 20480 | 561.1 | —      | 2.015   | 278.5               |

がよいことが分かった。表 11 は、4096 次から 20480 次までのそれぞれの方程式の係数を 48 プロセッサを使って求めるのに要した実行時間を示したものである。

表 12 は、PC (Pentium Pro) と SP2 (プロセッサ 1 台: 1PE) と SP2 (プロセッサ 48 台: 48PE) の 3 つのケースの実行時間 (単位: 時間) を比較したものである。この表から、たとえば、20480 次の場合、PC で 561 時間 (およそ 23 日) の処理が並列計算をした結果、わずか 2 時間 1 分で終了したことが分かる。

## 8. まとめ

Chebyshev の数値積分公式の分点を決める代数方程式の次数  $N$  を無限大に近づけていくとき、その係数  $a_k$  が漸近する式の妥当性を次数  $N = 20480$  まで数値的に確認できた。また、多倍長演算においては、演算時間の計算全体に対して占める割合が非常に大きく、次数  $N$  が大きいときには台数効果に相当する速度の向上が得られる、など並列化の効果が大きいことが分かった。また、検討した 2 つの並列化手法の効率の違いは小さいことも分かった。

謝辞 代数方程式の係数  $a_k$  の漸近式について貴重なコメントをいただいた東京大学名誉教授森口繁一氏、多倍長演算プログラムパッケージ MPPACK の使用に関して有益な助言を頂戴した神奈川工科大学助教授平山弘氏、さらに多倍長演算について多くのご助言とご協力をたまわった愛知工業大学教授秦野和郎氏に感謝

の意を表する。また、並列計算機 IBM SP2 使用の便宜と多くの助言をいただいた日本原子力研究所計算科学技術推進センターならびに COMPACS 運用グループの方々に心より感謝の意を表する。多倍長演算の除算の高速化についての貴重な文献<sup>15)</sup>のご教示や有益なるご指摘を多数いただいた査読者に深く感謝する。なお、この研究の一部は、広島市立大学特定研究費(1997 年度番号: 9744) および文部省平成 10 年度科学研究費補助金(基盤研究(B), 課題番号 10440031) の援助を受けた。ここに記して謝意を表する。

## 参考文献

- 1) 赤坂 隆: 数値計算, コロナ社 (1967).
- 2) 青山幸也: RS-6000 SP 並列プログラミング虎の巻 (MPI 版), 日本 IBM (1997).
- 3) Bernstein, S.: Sur les formules de quadrature de Cotes et Tchebycheff, *Comptes Rendus (Doklady) de l'Academie des Sciences de l'URSS*, Vol.14, pp.323-326 (1937).
- 4) 平山 弘: C++ 言語による高精度計算パッケージの開発, 日本応用数理学会論文誌, Vol.5, pp.307-318 (1995).
- 5) 平山 弘: 高精度計算プログラムマニュアル (C++ 版, Fortran 版) (1997).
- 6) 伊理正夫, 山下 浩, 寺野隆雄, 小野令美: 大域的収束性をもつ代数方程式の解法, 京都大学数理解析研究所講究録, No.339, pp.43-69 (1978).
- 7) Kuzmin, R.O.: Sur la méthode de quadrature de Tchebycheff, *C.R. Acad. Sci.*, Vol.202, pp.272-273 (1936).
- 8) Kuzmin, R.O.: Sur la distribution des racines des polynomes dans la méthode de quadrature de Tchebycheff, *Bulletin de l'academie des Sciences de l'URSS*, Vol.4, pp.429-444 (1938).
- 9) 森 正武: 数値解析, 共立出版 (1973).
- 10) 森口繁一: 数値計算工学, 岩波書店 (1989).
- 11) 森口繁一: 日科技連, CP 研究部会資料 (June 1981).
- 12) 小野令美: Durand-Kerner 法と Aberth 法を用いた超高速方程式の数値計算, 情報処理学会論文誌, Vol.20, No.5, pp.399-404 (1979).
- 13) 小野令美: Durand-Kerner-Aberth 法を用いたある種の超高速方程式の解の数値計算, 情報処理学会論文誌, Vol.22, No.2, pp.165-168 (1981).
- 14) 長田直樹: 数値微分積分法, 現代数学社 (1987).
- 15) Ozawa, K.: A Fast  $O(n^2)$  division algorithm for multiple precision floating-point arithmetic, *J. of Information Processing*, Vol.14, pp.345-356 (1991).
- 16) 戸田英雄, 小野令美: 高精度計算用の除算のアルゴリズムに関して, 電子技術総合研究所彙報, Vol.42, No.4, pp.66-71 (1978).

17) 富田真治：並列コンピュータ工学，昭晃堂  
(1996).

(平成10年11月2日受付)  
(平成11年9月2日採録)



益本 博幸

1975年生。1996年3月国立弓削商船高等専門学校卒業。1998年3月広島市立大学情報科学部卒業。現在(株)アイテック阪神に勤務。



藤野 清次（正会員）

1950年生。1974年京都大学理学部（数学専攻）卒業。1993年博士（工学）東京大学。1994年3月広島市立大学情報科学部教授。1994年8~9月Karlsruhe大学客員研究員。

数値計算、並列計算に興味を持つ。著書「反復法の数理」（共著朝倉書店）等。日本応用数理学会会員。



小野 令美（正会員）

1932年生。1954年御茶の水女子大学理学部数学科卒業。1985年工学博士（東京大学）。1997年3月千葉大学工学部定年退官。数値計算、データ解析に興味を持っている。著書「入門数値計算」（共著、オーム社）。日本応用数理学会、応用統計学会会員。



児島 彰（正会員）

1965年生。1992年京都大学工学部情報工学科卒業。1993年京都大学大学院工学研究科情報工学専攻修士課程修了。1996年京都大学大学院工学研究科情報工学専攻博士課程認定退学。同年広島市立大学情報科学部情報工学科助手。並列化コンパイラ、並列処理の研究に従事。